

کاربرد زمین آمار در شناسایی محل های با پتانسیل بالای فرار آب در سد تنگاب*

مقاله پژوهشی

رضا دهشویی^(۱) رضا جهانشاهی^(۲) مرتضی مظفری^(۳) امین عصارى^(۴)

چکیده سد تنگاب در فاصله ۹۰ کیلومتری جنوب شیراز و ۱۲ کیلومتری شمال غربی شهر فیروزآباد بر روی رودخانه فیروزآباد احداث شده است. این سد در زون زاگرس و بر روی تاقیدیس آهکی پودنو قرار دارد. محاسبات بیلان نشان داده است که در این سد احتمال فرار آب از مخزن و تکیه گاه های وجود دارد. در این پژوهش تحلیل اکتشافی-مکانی داده ها شامل بررسی نقشه های موقعیت مکانی، پارامترهای آماری، نمودار فراوانی و تغییرنما بر روی متغیرهای شاخص کیفیت سنگ، لوژان و متغیر سیمان خوری صورت گرفته است و جهت شناسایی زون های تراوا از روش های شبیه سازی زمین آماری استفاده شده است. متغیرهای مذکور در ترازهای ارتفاعی مختلف، تغییرات زیادی داشته است. پیوستگی مکانی سیمان خوری بر مبنای تغییرنمای بدون جهت، ۱۰۰ متر بدست آمده است. حالیکه این پیوستگی در متغیرهای شاخص کیفیت سنگ و لوژان بر اساس تغییرنمای جهت دار، به ترتیب بین ۲۰۰-۴۰۰ و ۱۶۰-۴۰ متر متغیر است. در نهایت با توجه به نقشه های شبیه سازی سه متغیر لوژان، شاخص کیفیت سنگ و سیمان خوری و تجزیه و تحلیل نقشه های احتمال و عدم قطعیت متغیرهای مذکور در منطقه مورد مطالعه، مشاهده شد در دو محل واقع در مرکز مخزن و شمال غربی سد، مناطقی با نفوذپذیری بالا وجود دارد. لذا پتانسیل فرار آب نیز در این مکان ها بیشتر است. بررسی گسل های منطقه مورد مطالعه نیز نشان داد تراکم گسل ها بیشتر در جناح راست سد بوده و این می تواند سبب افزایش نفوذپذیری در این منطقه باشد.

واژه های کلیدی سیمان خوری، شاخص کیفیت سنگ، لوژان، مدل سازی زمین آمار.

مقدمه

داده های مکانی، بر اساس پارامترهای آماری به دست آمده شبیه سازی متغیرها انجام می پذیرد [2]. مطالعات متعددی در سطح ایران و جهان با استفاده از زمین آمار و مدل سازی در خصوص نفوذپذیری، زمین شناسی، هیدرولوژی و هیدروژئولوژی انجام شده است که از جمله می توان به [3]، [4]، [5]، [6]، [7]، [8]، [9]، [10]، [11]، [12]، [13]، [14]، [15]، [22]، [23]، [24]، [25]، [26] و [27] اشاره کرد.

تغییرنما اساسی ترین ابزار در زمین آمار است که برای تشریح ارتباط مکانی یک متغیر به کار می رود. تغییرنما، کمیتی برداری که درجه همبستگی مکانی و شباهت بین نقاط اندازه گیری شده را برحسب مربع تفاضل مقدار دونقطه و با توجه به جهت و فاصله آن ها نشان می دهد معمولاً تغییرنما را با علامت $\gamma(h)$ نشان می دهند و از رابطه ی (۱) محاسبه می شود [28].

$$\gamma(h) = \frac{1}{n(h)} \sum (z(x_i + h) - z(x_i))^2 \quad (1)$$

در مطالعات ساختگاه سدها، بررسی وضعیت نفوذپذیری و درزه ها و رفتار هیدروژئومکانیکی، یکی از ملزومات اساسی مراحل اکتشافی به شمار می رود. به دلیل پیچیده بودن شرایط زمین شناسی، اندازه گیری داده های هیدروژئولوژیکی مثل قابلیت انتقال و هدایت هیدرولیکی ممکن است عدم قطعیت قابل توجهی را نشان دهند. بر این اساس، تخمین و شبیه سازی داده های هیدروژئولوژیکی با روش های مختلفی انجام می شود. روش های زمین آمار به طور گسترده ای در تخمین پارامترهای هیدرولیکی آبخوان و بررسی عدم قطعیت پارامترهای هیدروژئولوژیکی و ژئوتکنیکی استفاده شده اند.

یکی از روش های مدل سازی هندسه لایه های تراوا، استفاده از روش شبیه سازی زمین آماری است. این روش در مدل سازی سیستم شکستگی ها به منظور مطالعه جریانات سیالات در درون سنگ ها استفاده می شود [1]. در این روش پس از تجزیه و تحلیل

* تاریخ دریافت مقاله ۱۴۰۰/۸/۱۴ و تاریخ پذیرش آن ۱۴۰۰/۱۰/۱۹ می باشد.

(۱) دانشجوی کارشناسی ارشد آب شناسی، دانشگاه سیستان و بلوچستان

(۲) نویسنده مسئول: دانشیار گروه زمین شناسی، دانشگاه سیستان و بلوچستان.

(۳) استادیار دانشکده زمین شناسی، دانشگاه تهران.

(۴) دکتری آب شناسی، دفتر تحقیق و توسعه، معدن سنگ آهن گهرزمین، سیرجان.

متغیر ارائه می‌دهند، ولی این نمودارها حاوی اطلاعات کمی می‌باشند و نیاز به نوعی پارامتر خلاصه کننده دارند. سه تابع خلاصه کننده پیوستگی مکانی یک متغیر، از جمله توابع ضریب همبستگی، توابع کوواریانس و تغییر نماها. تمامی این توابع از یکسری پارامترهای آماری برای خلاصه نمودن نمودارهای پراکندگی برداری و ارائه آن، به صورتی که نشان‌دهنده تغییرات پیوستگی مکانی یک متغیر بافاصله و جهت باشد، بهره می‌برند. از بین آن‌ها تغییر نما مهم‌ترین ابزار برای بررسی پیوستگی مکانی بین داده‌هاست [۳۰].

در استان فارس، سد مخزنی تنگاب بخشی از آب آبیاری دشت فیروزآباد را تأمین می‌نماید. محاسبات بیلان توسط شرکت آب منطقه ای استان فارس و مطالعات قبلی نشان می‌دهد بخش زیادی از آب مخزن از طریق قسمت‌هایی از تکیه‌گاه‌های سد فرار می‌کند. لذا پرسشی که ایجاد می‌شود این است که از نظر زمین‌شناسی در چه مناطقی در اطراف این سد، پتانسیل فرار آب بالا است. بنابراین در این پژوهش سعی شده است تا با استفاده از بررسی پیوستگی مکانی داده‌های متغیرهای لوژان، شاخص کیفیت سنگ و سیمان‌خوری گمانه‌های اکتشافی در نهایت شبیه‌سازی‌های زمین‌آماري متغیرهای ذکر شده در منطقه مورد مطالعه به این پرسش پاسخ داده شود. لازم به ذکر است پیش‌از این تحقیق، در محدوده‌ی مطالعاتی پژوهش‌های هیدروژئولوژی و مدل‌سازی نیز انجام شده است [۱۶]. در مطالعه‌ای احتمال فرار آب در سد تنگاب را با استفاده از ردیاب‌های رنگی بررسی کرده است. مشاهدات نشانگر وجود ارتباط هیدروژئولوژی بین ساختگاه سد و چشمه‌های محدوده تنگاب (روستای آتشکده) است. بر اساس رفتار رنگ نمودهای به‌دست آمده، این ارتباط از طریق یک سیستم کارستی تک مجرای برقرار گردیده است. در پژوهشی دیگر [۱۷]. در منطقه سد تنگاب، با استفاده از بررسی سری زمانی پارامترهای هیدرو شیمی چشمه‌ها، به شناسایی منبع چشمه‌ها و ارتباط آن‌ها با یکدیگر پرداختند. بخشی از آبخوان توسط ۲۳ چشمه در سمت جنوب تخلیه می‌شود. یون‌های اصلی، هدایت الکتریکی، دما و pH این چشمه‌ها اندازه‌گیری شدند. این پارامترها نشان می‌دهد که منابع چهار چشمه، احتمالاً در قسمت‌های جنوبی قرار دارند و منابع دیگر چشمه‌ها هم در طرف‌های جنوبی و شمالی هستند. این بدان معنی است که همه این چشمه‌ها یک منبع مشترک و

که در آن $N(h)$ ، تعداد جفت نمونه‌های به‌کاررفته در محاسبه که در فاصله h از یکدیگر قرار دارند؛ $Z(x_i)$ مقدار مشاهده شد متغیر مورد نظر و $Z(x_i+h)$ مقدار مشاهده شد متغیر مورد نظر که به فاصله h از $Z(x_i)$ قرار دارد، است (حسینی پاک و شرف‌الدین، ۱۳۸۴). اگر در محاسبه تغییر نما به ازای هر لگ معین، بردار h نظیر آن لگ در فضا در هر جهتی بتواند قرار گیرد، در این صورت تغییرنمای حاصل را تغییرنمای بدون جهت می‌نامند [۲۹]. این‌گونه تغییر نماها برای بیان تغییرنمای کلی منطقه مناسب می‌باشند و در مواردی که تعداد نقاط اندک باشد این‌گونه تغییر نماها اطلاعات کلی‌تری در مورد منطقه به دست می‌دهند [۳۰]. پس از آنکه یک‌روند و ساختار مشخص برای تغییرنمای بدون جهت محاسبه گردید، در مرحله بعدی می‌توان تغییرنمای جهت‌دار و ناهمسانگردی را محاسبه نمود. تغییرنمای جهت‌دار را می‌توان این‌گونه تعریف نمود. اگر در محاسبه تغییر نما فقط از زوج نقاطی که بردار h آن‌ها (برداراری که دو نقطه را به هم وصل می‌کند) در امتداد معین و معلومی قرار داشته باشد، استفاده شود، در این صورت آن تغییر نما را تغییرنمای جهت‌دار می‌گویند [۲۹]. معمولاً در مطالعات زمین‌شناسی با توجه به هدف مورد مطالعه که بیشتر اوقات بررسی ویژگی‌های زمین‌شناسی و به‌ندرت باهدف بررسی ویژگی‌های آماری است، نمونه‌ها به‌صورت منظم برداشت نمی‌شوند، در نتیجه استراتژی‌های نمونه‌برداری سبب شده است که در مناطقی مقادیر بالای یک متغیر متمرکز شده باشند. هر چند این مناطق ممکن است اطلاعات مفیدی به دست بدهند ولی نماینده سایر نقاط باقیمانده نیستند. برای به دست آوردن یک تخمین مناسب از میانگین داده‌های جامع می‌باید نمونه‌های موجود به‌گونه‌ای وزن دهی شوند که داده‌های کلاستره شده اثر بیش‌از حدی را بر روی تخمین میانگین نگذارند. برای دکلاستره نمودن داده‌ها دو روش دکلاسترینگ چندضلعی و دکلاسترینگ سلولی وجود دارد. پیوستگی مکانی در بسیاری از متغیرهای مورد بررسی در داده‌های علوم زمین وجود دارد. به‌طوری‌که بین داده برداشته شده در یک نقطه و داده‌های برداشته شده در نقاط دیگر که به فاصله معینی از یکدیگر قرار دارند، یکسری مشابهت‌ها و تفاوت‌هایی وجود دارد. دو داده برداشته شده در فاصله کم، عمدتاً مشابهت بیشتری نسبت به دو داده برداشته شده در فاصله بیشتر دارند. اگرچه بررسی تعدادی از نمودارهای پراکندگی برداری، توصیفی نسبتاً کامل را از پیوستگی مکانی یک

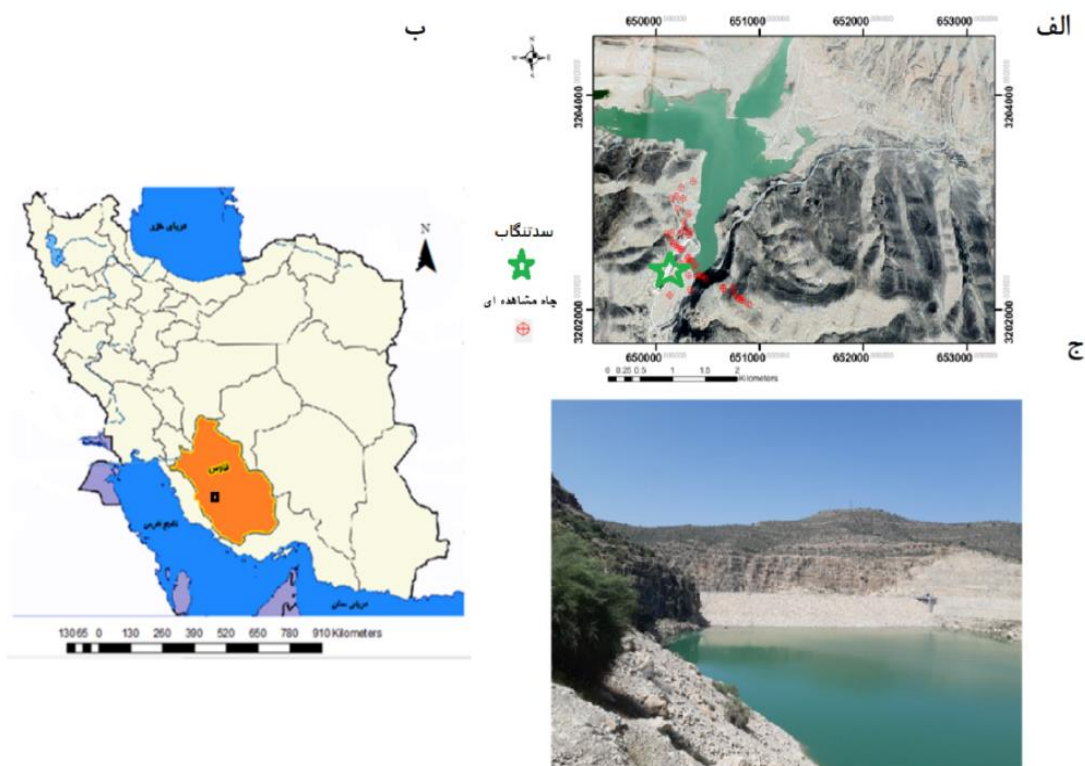
(۱۲) کیلومتری شمال غربی شهر فیروزآباد، در مسیر فیروزآباد - کوار) بر روی رودخانه فیروزآباد واقع شده است (شکل ۱-). این سد در زون زاگرس چین خورده و بر روی تاق‌دیس پودنو قرار دارد. این تاق‌دیس عمدتاً از سازند آهکی آسماری (الیگومیوسن) تشکیل شده است و از بالا به وسیله سازند مارنی رازک و از زیر به وسیله سازند مارنی پابده گورپی (پالئوسن-الیگوسن) محصور شده است [۲۰]. سازند رازک در محدوده مخزن گسترش دارد و به دلیل اینکه از مارن و تبخیری‌ها تشکیل یافته‌اند از قابلیت نفوذ و آب‌گذری قابل توجهی برخوردار نیستند. لذا تنها، محدوده سازند آسماری که دیواره دره ساختگاه سد را می‌سازد قابلیت آب‌گذری دارد. آهک‌های سازند آسماری از استعداد کارست شدگی بالایی برخوردار بوده و وجود میان لایه‌های مارنی و مارن آهکی باعث توسعه کارست در اطراف این لایه‌ها شده است. این پدیده‌های کارستی در امتداد درزه‌ها و گسل‌های عمده که شیئی نزدیک به قائم دارند و توسط مواد ریزدانه پر شده‌اند توسعه بیشتری دارند [۲۱].

یک حوضه آبریز مشترک دارند [18]. از نتایج تست لوژان، برای ارزیابی تخلخل مؤثر و توسعه کارست در سد تنگاب استفاده کرده‌اند. در این تحقیق رفتار آبخوان کارستی، نقش منطقه اپی کارستی، نقش تغذیه در آبخوان‌های کارستی و اثر آن بر هیدرو گراف چشمه، مورد ارزیابی قرار گرفت و ارتباط کارستی شدن بر میزان نفوذپذیری (لوژان) بررسی شده است. در این پژوهش مشخص شد که یکی از مؤثرترین عوامل تأثیرگذار بر هیدرو گراف و تغییرات نوسان آب، طول مجرای اصلی کارستی است [۱۹]. نشت در جناح راست سد تنگاب را مورد بررسی قراردادند. این تحقیق بر مبنای مدل عددی با استفاده از نرم‌افزار seep/w در زمینه جریان آب در خاک انجام شده است. نتیجه پیش‌بینی پژوهش نشان داده است عمده نشت از طریق مناطق کارستی و درزه و شکاف‌ها رخ داده است.

مواد و روش‌ها

منطقه مورد مطالعه

سد تنگاب در استان فارس، در فاصله ۹۰ کیلومتری جنوب شیراز



شکل ۱ (الف) تصویر ماهواره‌ای از موقعیت سد، (ب) موقعیت سد تنگاب در استان فارس و (ج) نمایی از سد تنگاب، جهت نگاه به جنوب غرب

روش کار

ساده با استفاده از مدل تغییرنمای داده‌های نرمال شده، تخمین داده‌ها بر روی شبکه صورت می‌گیرد.

- بیرون کشیدن مقدار شبیه‌سازی شده از تابع توزیع تجمعی و اضافه کردن آن به مجموعه داده‌ها.

- رفتن به گره بعدی در طول مسیر تصادفی و تکرار دو مرحله قبلی.

- تکرار کلیه مراحل بالا تا اینکه N گره شبیه‌سازی شوند و کل شبکه دارای عدد شود [28].

- شبیه‌سازی گوسی متوالی یک‌راه سریع و ساده برای انجام شبیه‌سازی زمین‌آمار است؛ زیرا برای مدل‌سازی گوسی در هر مکان نیاز به حل کردن تنها یک سیستم کریجینگ در آن مکان است. اما درعین‌حال توانایی نشان دادن پیوستگی مکانی برای طبقات مختلف مقادیر را ندارد و همچنین امکان شبیه‌سازی مقادیر انتهایی بزرگ را فراهم نمی‌کند.

نتایج و بحث

تحلیل اکتشافی - مکانی

بررسی آمار مقدماتی بر روی ۲۳۷۰ داده شاخص کیفیت سنگ، ۱۱۷۷ داده لوژان و ۱۱۸۴ داده سیمان خوری گمانه‌های اکتشافی حفر شده در تکیه‌گاه‌های سد تنگاب انجام شده است؛ میانگین، واریانس و انحراف معیار متغیر شاخص کیفیت سنگ به ترتیب برابر با $۸۷/۳۸$ ، $۳۶۴/۱۳$ و $۱۹/۰۸$ است (جدول ۱). نمودار هیستوگرام فراوانی آن (شکل ۲) نشان‌دهنده چولگی منفی و عدم نرمال بودن داده‌ها است. از آنجایی که دامنه تغییرات آن دارای مقادیر بالاست، این موضوع نشان‌دهنده وجود مقادیر بالا در کنار مقادیر پایین شاخص کیفیت سنگ در ترازهای مختلف ارتفاعی است. همان‌طور که اشاره شد داده‌ها از توزیع نرمال پیروی نمی‌کنند و جهت انجام شبیه‌سازی یا تخمین و محاسبات زمین‌آمار نیاز به نرمال کردن داده‌ها است.

شکل (۲-ب) نشان می‌دهد که میانگین متغیر شاخص کیفیت سنگ در ترازهای مختلف (بین ترازهای ۱۲۹۸ تا ۱۴۵۰ متر از سطح دریا) داری نوسان است و از آنجایی که دامنه تغییرات و پراکندگی داده‌ها زیاد است؛ لذا میانگین نمی‌تواند معیار خوبی جهت مقایسه این متغیر در ترازهای مختلف باشد.

در این پژوهش، مطالعات زمین‌آمار بر روی داده‌های لوژان، شاخص کیفیت سنگ و سیمان خوری چاه‌های اکتشافی در محدوده سد تنگاب انجام شده است که شامل موارد: تحلیل اکتشافی-مکانی داده‌ها، دکلاستره نمودن داده‌ها، بررسی هیستوگرام یا نمودارهای جعبه‌ای متغیرهای مختلف، بررسی تغییرات متغیرها در ترازهای ارتفاعی مختلف، بررسی رابطه احتمالی بین متغیرهای مختلف با استفاده از نمودارهای پراکندگی، تهیه نقشه‌های تغییرنما و بررسی وجود و یا عدم وجود آنایزوتروپی احتمالی، مدل‌سازی زمین‌آمار (با استفاده از نرم افزار زمین‌آمار ایساتیس) شامل: ایجاد شبکه جهت انجام شبیه‌سازی گوسی، انجام شبیه‌سازی گوسی، تعیین حد آستانه‌های مختلف و بررسی تغییرات متغیرها در منطقه مورد مطالعه، پردازش شبیه‌سازی‌های انجام شده و کمی‌سازی عدم قطعیت و در نهایت شناسایی زون‌های تراوا می‌باشد.

به‌کارگیری اصل توالی تحت مدل چند گوسی توابع تصادفی را شبیه‌سازی گوسی متوالی می‌گویند. این الگوریتم برای شبیه‌سازی یک مشخصه واحد با استفاده از مقادیر واحد و سپس به دست آوردن اطلاعات ثانویه و شبیه‌سازی مشترک چندین مشخصه وابسته، معرفی شده است. این الگوریتم برای انجام شبیه‌سازی به داده‌های نرمال استاندارد نیاز دارد. برای شبیه‌سازی پیوستگی مشخصه Z در N گره در شبکه مشروط به مجموعه داده $\{z(ua), a = 1, \dots, n\}$ است. مراحل شبیه‌سازی گوسی متوالی به‌صورت زیر است:

۱. اولین گام بررسی کردن صحت مدل چند گوسی است که نیاز به رسم هیستوگرام برای داده‌های اولیه و نرمال کردن داده‌ها و تبدیل z -data به y -data با یک تابع توزیع تجمعی (cdf) استاندارد نرمال است.

۲. اگر مدل چند گوسی برای متغیر y حفظ شد، در این حالت می‌توان شبیه‌سازی گوسی متوالی را به صورت مراحل زیر برای y -data انجام داد:

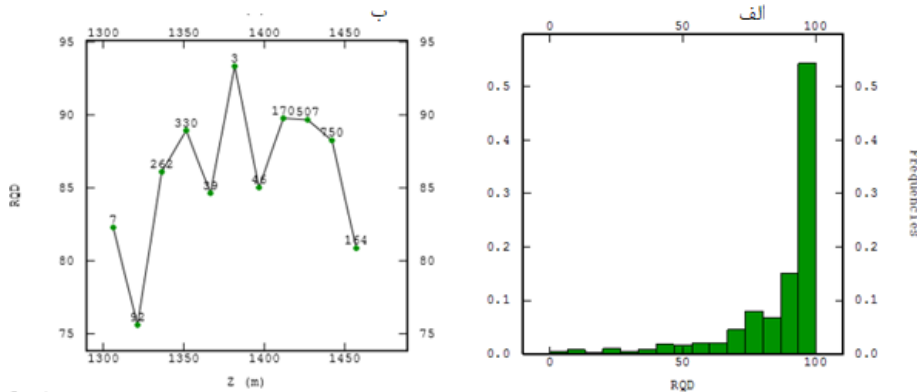
- ترسیم تغییرنما با استفاده از داده‌های نرمال شده.

- انتخاب مسیر تصادفی برای انجام شبیه‌سازی به‌طوری‌که هر گره شبکه فقط یک‌بار شبیه‌سازی می‌شود.

- در هر گره u پارامترهای میانگین و واریانس تابع توزیع تجمعی گوسی تعیین می‌گردند و سپس با انجام کریجینگ

جدول ۱ آمار مقدماتی شاخص کیفیت سنگ، لوژان و سیمانخوری بدون تخصیص وزن

متغیر	تعداد	کمینه	بیشینه	میانگین	انحراف معیار	واریانس	چولگی	کشیدگی	دامنه تغییرات	ضریب تغییرات
شاخص کیفیت سنگ	۲۳۷۰	۰	۱۰۰	۸۷/۳۸	۱۹/۰۸	۳۶۴/۱۳	-۲/۱۶	۷/۸۳	۱۰۰	۰/۲۲
لوژان	۱۱۷۷	۰	۲۱۱/۲	۶/۱۵	۱۸/۰۹	۳۲۷/۳۳	۵/۶۹	۴۴/۷۹	۲۱۱/۲	۰/۵۸
سیمان خوری	۱۱۸۴	۰	۳۴۷۱۸/۶	۳۳۸/۶	۱۶۸۲/۸	۲۸۳۱۸۰۸	۱۲/۶۰	۲۱۱/۰۱	۳۴۷۱۸/۶	۴/۹۶



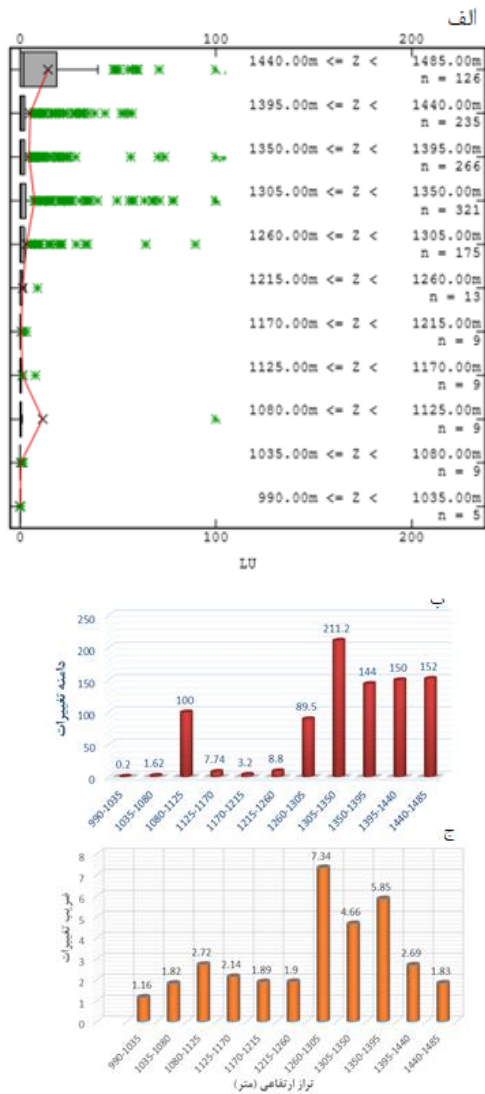
شکل ۲ هیستوگرام مقادیر شاخص کیفیت سنگ و تغییرات میانگین آن در ترازهای ارتفاعی مختلف

نشان‌دهنده تغییرات شدیدتر متغیر در آن تراز ارتفاعی است. با توجه آمار مقدماتی متغیر شاخص کیفیت سنگ در ترازهای مختلف بدون تخصیص وزن، مشاهده شده است که بیشترین مقدار انحراف معیار در تراز ارتفاعی ۱۳۲۸/۸۰-۱۳۱۳/۷۰ (متر از سطح دریا) و برابر با ۲۷/۵۶ است. با توجه به محاسبه ضریب تغییرات متغیر در ترازهای ارتفاعی، بیشترین تغییرات در تراز ارتفاعی ۱۳۲۸/۸۰-۱۳۱۳/۷۰ (متر) قرار دارد و ضریب تغییرات آن برابر ۰/۳۶ است و کمترین مقدار ضریب تغییرات مربوط به تراز ۱۳۷۴/۱۰ تا ۱۳۸۹/۲۰ (متر از سطح دریا) است که مقدار آن ۰/۰۵ است (شکل ۳-ج). همان‌طور که پیش‌ازین اشاره شد با توجه به هیستوگرام، متغیر شاخص کیفیت سنگ از توزیع نرمال پیروی نمی‌کند و بدین منظور، داده‌ها با روش تبدیل نرمال گاوسی به نرمال تبدیل شده است.

نتایج آمار مقدماتی متغیر لوژان بدون تخصیص وزن (دکلاسترینگ) در جدول (۱) نشان می‌دهد که مقادیر میانگین و چولگی به ترتیب برابر با ۶/۱۵ و ۵/۶۹ است. با بررسی میزان دامنه تغییرات برابر با ۲۱۱/۲ و شاخص‌های پراکندگی مشخص است که مقادیر لوژان در ترازهای مختلف در نوسان بوده است و بیانگر تغییرات این متغیر در ترازهای مختلف است. از آنجایی که

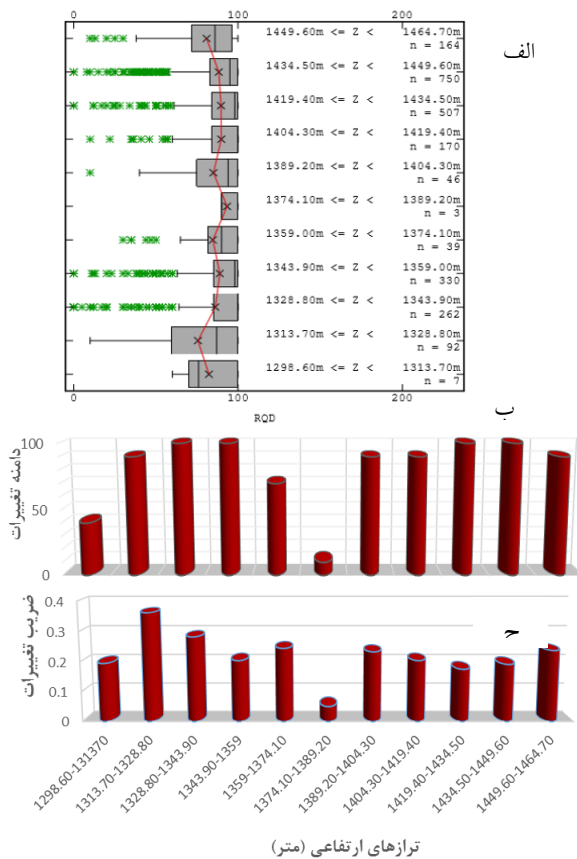
در نمودار جعبه‌ای (شکل ۳-الف) تغییرات متغیر شاخص کیفیت سنگ در ترازهای مختلف ارتفاعی نشان می‌دهد مقدار میانگین شاخص کیفیت سنگ در بیشتر ترازها از مقدار میانه کمتر است؛ که این موضوع نشان‌دهنده چولگی منفی در اکثر ترازها بوده و متغیر به سمت مقادیر کمتر میل کرده است. در تراز ارتفاعی ۱۳۱۳/۷۰-۱۲۹۸/۶۰ متر از سطح دریا مقدار میانگین بیشتر از مقدار میانه بوده که بیانگر چولگی مثبت در این تراز بوده است. نمودار میله‌ای دامنه تغییرات در مقابل ترازهای ارتفاعی مختلف (شکل ۳-ب) نشان می‌دهد در تراز ارتفاعی ۱۳۷۴/۱۰-۱۳۸۹/۲۰ (متر از سطح دریا) کمترین دامنه تغییرات وجود دارد و اختلاف بین بیشترین و کمترین مقدار متغیر برابر ۱۰ است. در رتبه دوم، تراز ارتفاعی ۱۲۹۸/۶۰ تا ۱۳۱۳/۷۰ متر است که اختلاف مقادیر بیشینه و کمینه آن برابر ۴۰ است. وجود مقادیر بالا در دامنه تغییرات، در بعضی از ترازهای ارتفاعی، پراکندگی شدید داده‌ها را در ترازهای مختلف نشان می‌دهد و به این معناست که در هر تراز مقادیر بالای متغیر می‌تواند در کنار مقادیر پایین قرار داشته باشد. لذا معمولاً جهت مقایسه و بررسی تغییرات متغیر در ترازهای مختلف مقدار ضریب تغییرات برای هر تراز محاسبه می‌شود. هرچه مقدار ضریب تغییرات بیشتر باشد

همان‌طور که قبلاً بیان شد، عدم توزیع یکنواخت مکانی داده‌ها، به شدت پارامترهای آماری را تحت تأثیر قرار می‌دهد. به همین منظور لازم است قبل از تحلیل آماری داده‌ها، وزن مناسب برای هر داده تعیین گردد. در این مطالعه از روش دکلاسترینگ سلولی در کلاستره نمودن متغیرهای شاخص کیفیت سنگ و لوژان استفاده شده است. مقدار میانگین متغیر شاخص کیفیت سنگ و لوژان قبل از دکلاسترینگ به ترتیب ۸۷/۳۸ و ۶/۱۵ بوده است که پس از اعمال وزن دهی به ۹۱/۸۷ و ۵/۹۱ تغییر یافته است. بنابراین اعمال وزن دکلاسترینگ بر روی داده‌ها تأثیر چندان زیادی بر مقدار میانگین نداشت که نشان‌دهنده توزیع مکانی نسبتاً یکنواخت داده‌ها است.



شکل ۴ نمودارهای جعبه‌ای متغیر لوژان، (الف) نمودار میله‌ای دامنه تغییرات (ب) نمودار میله‌ای ضریب تغییرات در ترازهای مختلف (ج)

دامنه تغییرات داده‌ها زیاد بوده و اختلاف میان بزرگ‌ترین و کوچک‌ترین داده لوژان در هر تراز مقدار بالایی را نشان می‌دهد؛ میانگین نمی‌تواند معیار خوبی جهت مقایسه لوژان در ترازهای مختلف باشد. تغییرات لوژان در تراز ارتفاعی مختلف در نمودار جعبه‌ای شکل (۴)، نشان می‌دهد در بیشتر ترازها مقدار میانگین بزرگ‌تر از مقدار میانه است؛ که نشان‌دهنده چولگی مثبت در توزیع این متغیر است. مقدار دامنه تغییرات لوژان در برابر ترازهای ارتفاعی مختلف در نمودار میله‌ای شکل (۴-ب) نشان می‌دهد کمترین دامنه تغییرات لوژان در تراز ارتفاعی ۱۲۱۵-۱۱۷۰ متر از سطح دریا، و بیشترین ضریب تغییرات در ترازهای ارتفاعی ۱۲۶۰-۱۳۰۵ و ۱۳۵۰ تا ۱۳۹۵ (متر از سطح دریا) قرار دارد (شکل ۴-ج). همچنین نتایج آمار مقدماتی میزان سیمان خوری در گمانه‌های اطراف سد (جدول ۱)، نشان می‌دهد توزیع این پارامتر به صورت نرمال نبوده و چولگی مثبت، نشان‌دهنده عدم تقارن داده‌ها است.



شکل ۵ نمودار جعبه‌ای (الف)، دامنه تغییرات (ب) و ضریب تغییرات (ج) شاخص کیفیت سنگ در ترازهای ارتفاعی مختلف

مدل سازی تغییر نما

جهت انجام شبیه سازی و آنالیزهای زمین آماری نیاز به نرمال کردن داده ها و ترسیم تغییرنمای مقادیر نرمال شده و برازش مدل های مختلف بر تغییر نما تجربی مدل است. از این جهت در این مرحله پیوستگی مکانی بر اساس تغییرنمای بدون جهت و جهت دار مقادیر نرمال شده متغیر شاخص کیفیت سنگ، لوژان و سیمان خوری مورد بررسی قرار گرفته است. در شکل (۵-الف)، تغییرنمای بدون جهت متغیر شاخص کیفیت سنگ مشاهده می شود. دو مدل اثر قطعه ای و توانی به تغییرنمای تجربی برازش یافته است. دامنه مدل توانی ۲۱/۲۹ و مدل اثر قطعه ای با مقدار ۰/۵۹ بالاترین سهم از واریانس کل را دارا است. تغییرنمای مقادیر نرمال شاخص کیفیت سنگ در سه جهت مختلف محاسبه و مدل سازی شده است که به شرح زیر است:

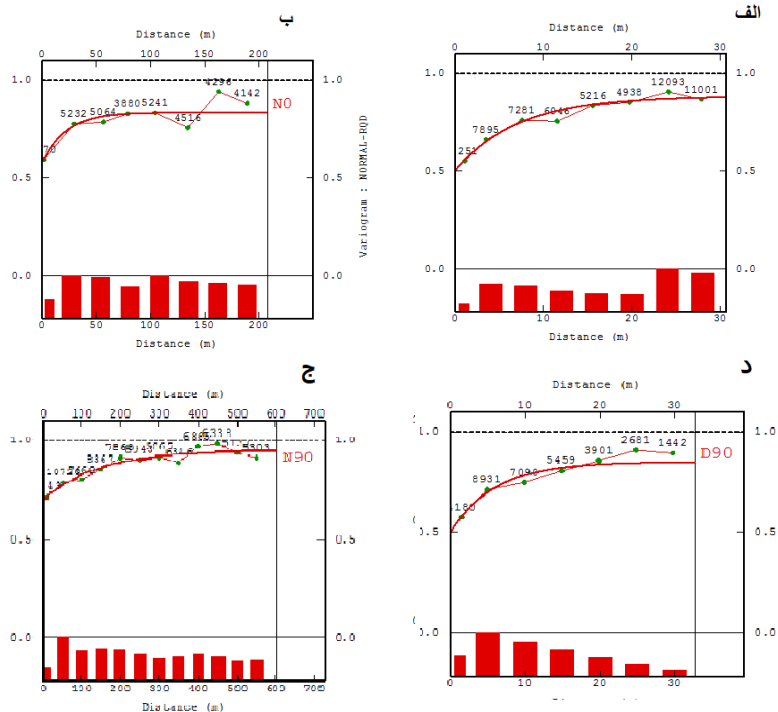
۱. تغییرنمای مقادیر نرمال برای شیب و آزیموت صفر در شکل (۵-ب): با توجه به این شکل، مدل توانی به تغییرنمای تجربی برازش شده است. دامنه مدل توانی و دامنه مدل ۶۶/۳۰ متر است و مدل اثر قطعه ای با مقدار ۰/۷ بالاترین سهم از واریانس کل را شامل می شود.
۲. تغییرنمای مقادیر نرمال برای شیب صفر و آزیموت ۹۰ در

شکل (۵-ج): دو مدل اثر قطعه ای و توانی به تغییرنمای تجربی برازش شده است. سهم اثر قطعه ای از واریانس کل برابر ۰/۷۵ و سهم مدل توانی ۰/۲۵ است و دامنه مدل توانی برابر ۴۳۷/۵۲ متر است.

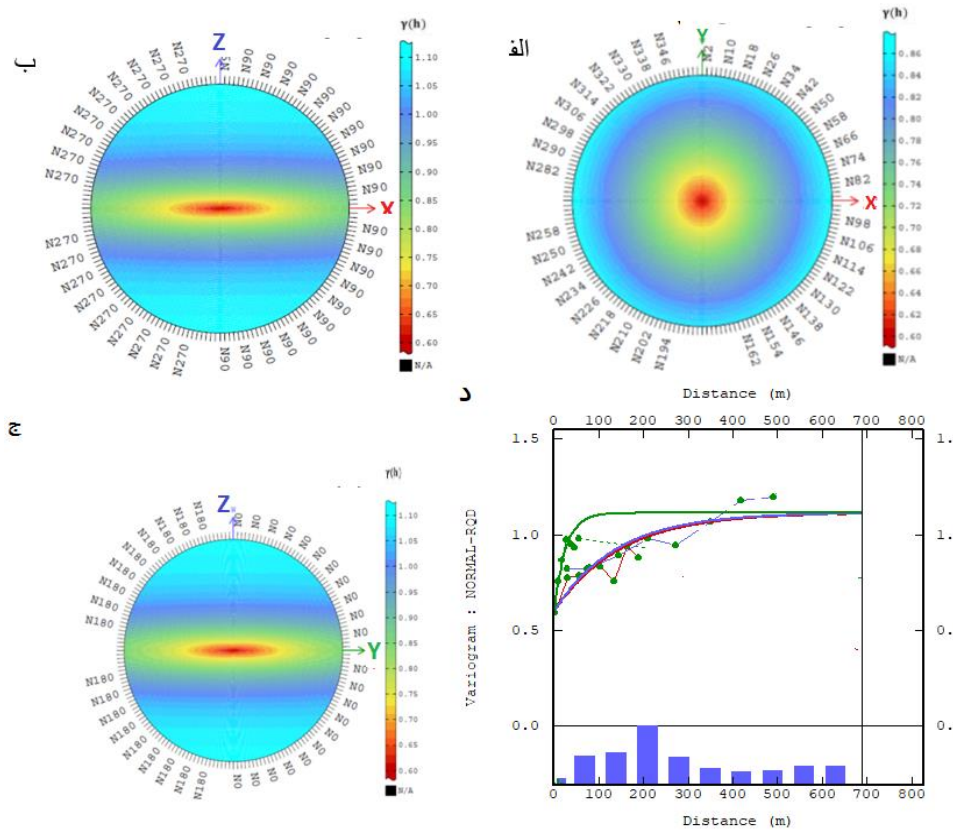
۳. تغییرنمای مقادیر نرمال برای شیب ۹۰ در شکل (۵-د): دو مدل اثر قطعه ای و توانی به تغییرنمای تجربی برازش شده است و اثر قطعه ای با مقدار ۰/۶۱ بالاترین سهم از واریانس کل را شامل می شود. مجموع دامنه مدل برازش یافته به این تغییرنمای تجربی برابر ۱۷/۸۷ متر است.

اشکال (۶-الف و ب) تغییرنمای سه بعدی به ترتیب در صفحات XY و XZ را نشان می دهد. از شکل مذکور می توان دریافت پیوستگی مکانی در امتداد محور شرقی-غربی بیشتر از پیوستگی مکانی در امتداد محور Z راستای گمانه ها است.

شکل (۶-ج) تغییرنمای سه بعدی در صفحه YZ را نشان می دهد. با توجه به شکل مذکور پیوستگی مکانی در جهت Y بیشتر از جهت Z است. همچنین سه مدل تغییرنمای جهت دار مقادیر نرمال شده متغیر شاخص کیفیت سنگ نیز با یکدیگر تلفیق و به صورت یک مدل واحد ارائه شده است (شکل ۶-د).



شکل ۵ الف) مدل برازش یافته تغییرنمای شاخص کیفیت سنگ بدون جهت، ب) تغییرنما در جهت آزیموت صفر و شیب صفر، ج) تغییرنما برازش یافته در جهت آزیموت ۹۰ و شیب صفر، د) تغییرنما برازش شده در جهت شیب نود



شکل ۶. الف) تغییرنمای سه‌بعدی شاخص کیفیت سنگ در صفحه XY، ب) صفحه XZ، ج) صفحه YZ و د) تغییرنمای تجربی به همراه مدل واحدبرازش یافته در امتداد محورهای سه بعدی ناهمسانگردی

متر می‌باشد.

۶. تغییرنمای مقادیر نرمال در شیب ۹۰ در شکل (۷-د): دو مدل توانی و اثر قطعه‌ای به تغییرنمای تجربی برازش شده است. اثر قطعه‌ای با مقدار $0/56$ بالاترین سهم از واریانس کل را شامل می‌شود. مجموع دامنه مدل برازش یافته به این تغییرنما برابر $52/34$ متر است. با تلفیق سه مدل تغییرنمای جهت‌دار مقادیر نرمال لوژان، یک مدل واحد ارائه شده است.

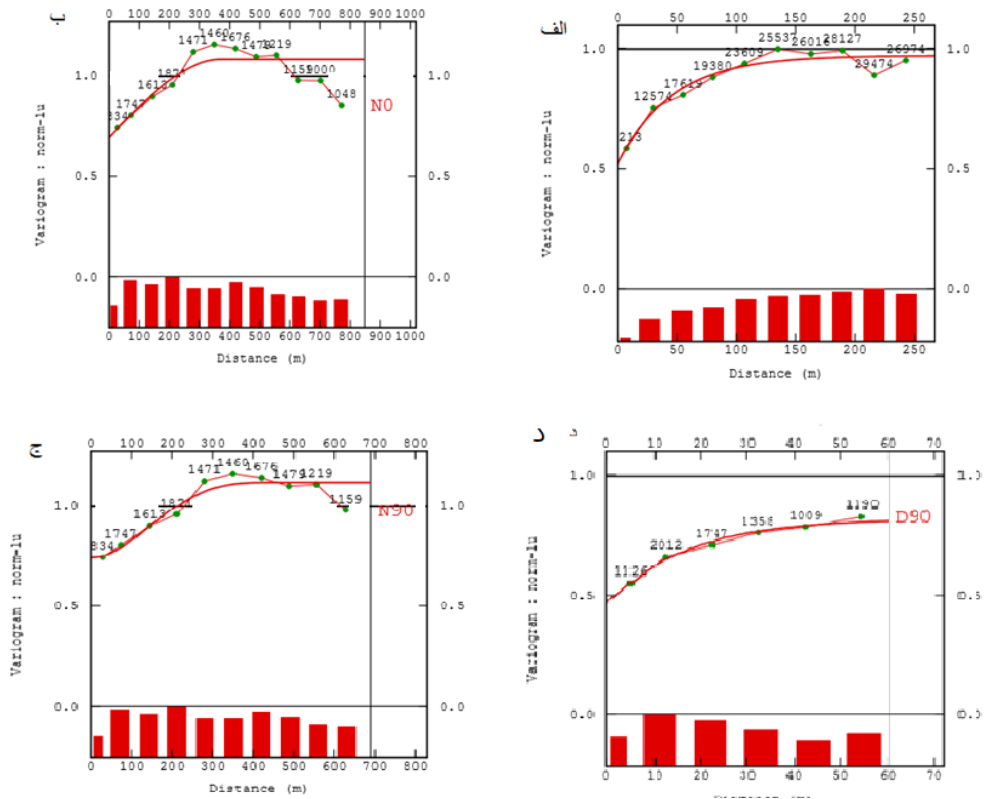
بعد از نرمال‌سازی داده‌های سیمان‌خوری، نمودار تغییرنمای تجربی مقادیر نرمال سیمان‌خوری، به همراه برازش مدل‌های کروی و توانی و کوییک تهیه شده است (شکل ۸). بررسی تغییرنما در جهات مختلف نشان داد هیچ روندی در پیوستگی مکانی سیمان‌خوری مشاهده نمی‌شود و به همین دلیل تغییرنمای بدون جهت محاسبه گردیده است. با توجه به این تغییرنما پیوستگی مکانی این متغیر حدود ۱۰۰ متر بوده است.

تغییرنمای تجربی جهت‌دار و بدون جهت مقادیر نرمال

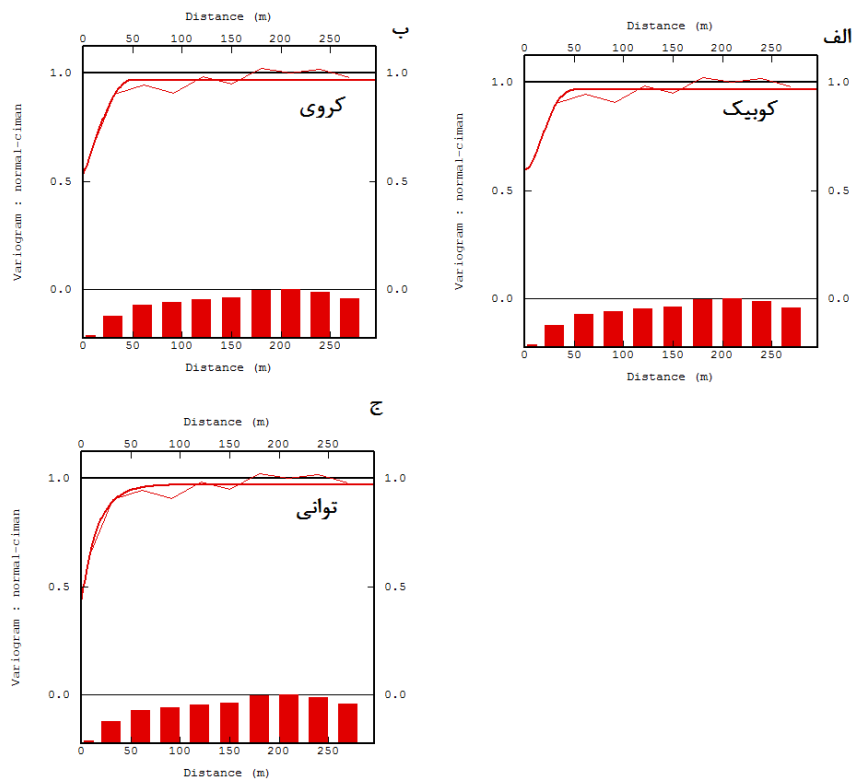
متغیر لوژان به همراه مدل کروی توانی و کوییک بر مدل تجربی برازش یافته در شکل (۷) ارائه شده است. همان‌طور که در شکل مشاهده می‌شود دامنه مدل توانی $136/80$ متر و مدل اثر قطعه‌ای با مقدار $0/54$ بالاترین سهم از واریانس کل را دارا است. همچنین نتایج محاسبه مدل‌سازی و تغییرنمای لوژان در سه جهت مختلف عبارت است از:

۴. تغییرنمای شیب و آزیموت صفر در شکل (۷-الف): دو مدل کروی و اثر قطعه‌ای به تغییرنمای تجربی برازش شده است. دامنه مدل کروی به برابر $371/24$ متر است و اثر قطعه‌ای مقدار $0/64$ بالاترین سهم از واریانس کل را شامل می‌شود.

۵. تغییرنمای مقادیر نرمال برای شیب صفر و آزیموت ۹۰ در شکل (۷-ج): دو مدل اثر قطعه‌ای و کوییک بر تغییرنمای تجربی برازش شده است. سهم اثر قطعه‌ای از واریانس کل برابر $0/66$ و سهم مدل کوییک $0/33$ است و دامنه مدل توانی برابر با $63/29$



شکل ۷ (الف) مدل برازش یافته تغییرنمای لوژان بدون جهت، (ب) تغییرنما در جهت آزیموت صفر و شیب صفر، (ج) تغییرنما برازش یافته در جهت آزیموت ۹۰ و شیب صفر و (د) تغییرنما برازش شده در جهت شیب نود



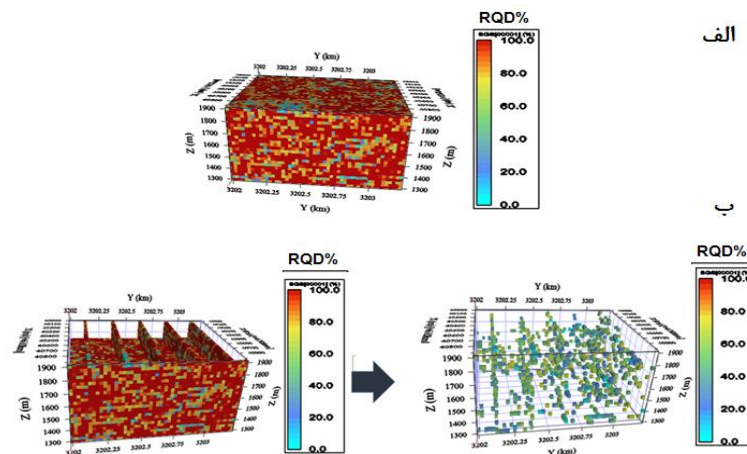
شکل ۸ تغییرنما برازش داده شده بر مقادیر نرمال سیمان خوری (مدل کروی، کوبیک و توانی)

شبیه‌سازی زمین آماری

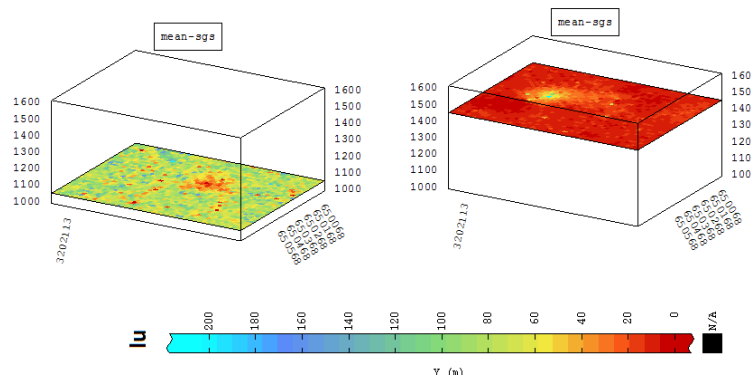
با کمک تغییرنماها، شبیه‌سازی گاوسی متوالی متغیرهای شاخص کیفیت سنگ، لوژان و سیمان‌خوری، مدل‌سازی گردید. جهت نمایش این شبیه‌سازی به‌عنوان مثال شکل (۹-الف)، نمایی سه‌بعدی از بلوک شاخص کیفیت سنگ می‌باشد و شکل (۱۰-ب)، حد آستانه در ترازهای مختلف آن مشخص شده است. به‌گونه‌ای که فقط مقادیر بالا یا پایین از یک حد آستانه مشخص را در ترازهای مختلف نشان می‌دهد که در این شکل برای شاخص کیفیت سنگ مقدار کوچک‌تر از ۶۰ درصد در نظر گرفته شده است.

بررسی مقادیر متغیرها در سه بعد و در تمامی خروجی‌های شبیه‌سازی کاری دشوار است و نیازمند به احاطه کامل بر تمامی نتایج شبیه‌سازی است؛ لذا لازم است تا شبیه‌سازها در هر سلول و یا هر منطقه معین به‌صورت خلاصه‌شده به نحوی تعیین شود. بدین سبب نتایج صد شبیه‌سازی هرکدام از سه متغیر شاخص کیفیت سنگ، لوژان و سیمان‌خوری برهم منطبق شدند و مقادیر

میانگین و احتمال کوچک یا بزرگ‌تر از مقادیر خاص برای هر سلول محاسبه و در نظر گرفته‌شده است. شبکه شبیه‌سازی‌شده متغیرها در راستای گمانه‌ها (جهت Z)، شامل ۲۵ سلول با اندازه‌ای برابر با ۱۰ متر است که در واقع ۲۵۰ متر شبیه‌سازی در راستای گمانه‌ها انجام‌شده است. در هر تراز ارتفاعی، کمترین شاخص کیفیت سنگ و بیشترین لوژان و سیمان‌خوری در مناطق معینی متمرکز شده است که در این مناطق میزان خردایش و نفوذپذیری بیشتر و احتمال دارای تراوایی بیشتر خواهد بود. لذا می‌توان مکان‌های مناسب را جهت تزریق سیمان در مرحله تکمیلی جهت جلوگیری از فرار آب را پیشنهاد دهد. هرچند در این نقشه‌ها مقادیر احتمال متفاوت است؛ اما روند کلی تغییرات در تمامی این نقشه‌ها یکسان خواهد بود. به‌عنوان مثال میانگین تغییرات مکانی لوژان حاصل از شبیه‌سازی گاوسی به‌عنوان نمونه در چندین ترازهای مختلف ارتفاعی در شکل (۱۰) نمایش داده‌شده است.

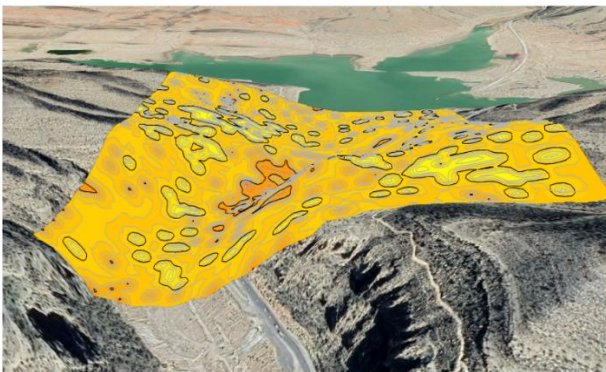


شکل ۹ (الف) نتایج بلوک سه‌بعدی شاخص کیفیت سنگ حاصل از شبیه‌سازی گاوسی در شبکه ایجادشده، (ب) نتایج شبیه‌ساز گاوسی در ترازهای مختلف با تغییر راستاهای (X,Y,Z)

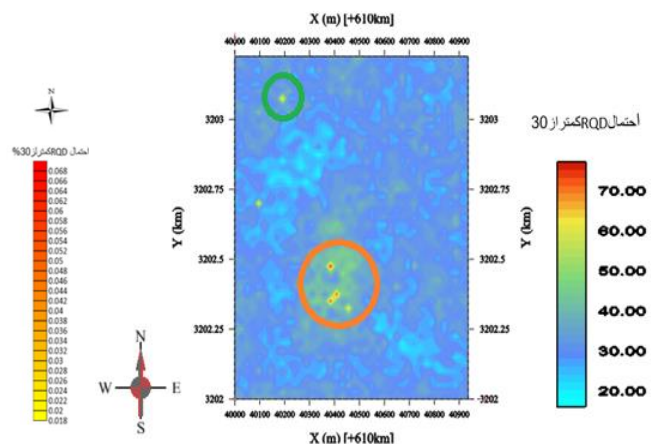


شکل ۱۰- نقشه پلان میانگین حاصل از ۱۰۰ شبیه‌سازی گاوسی لوژان در چند تراز ارتفاعی مختلف

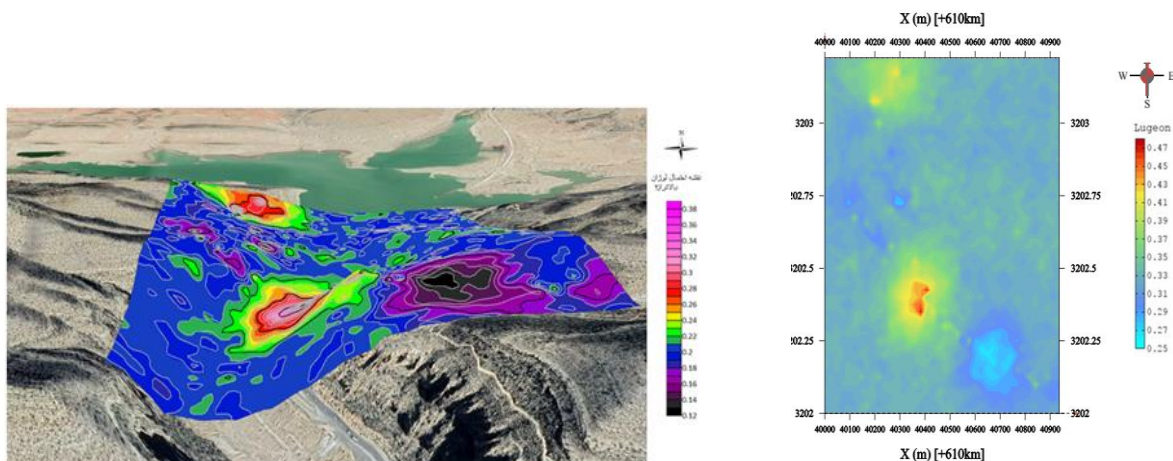
حاصل از احتمال مقادیر لوژان بالاتر از ۲، نقشه احتمال شاخص کیفیت سنگ پایین‌تر از ۳۰ و نقشه احتمال سیمان خوری جهت مقادیر بزرگ‌تر ۱۰۰ کیلوگرم بر متر با یکدیگر مقایسه شود، می‌توان دریافت که در دو محل مرکز مخزن سد و شمال غربی آن انطباق خوبی بین مقادیر پایین شاخص کیفیت سنگ، مقادیر بالای سیمان خوری و لوژان وجود دارد. درحالی‌که در بعضی از نقاط از جمله نواحی شمال شرق مخزن، روند تغییرات مقادیر احتمال شاخص کیفیت سنگ و لوژان با یکدیگر سازگاری کمی نشان می‌دهند. البته از آنجاییکه همراه با برداشت داده‌های لوژان، شاخص کیفیت سنگ و سیمانخوری، اطلاعات لیتولوژی و درزه برداری ثبت نشده است؛ نمیتوان بطور دقیق مشخص کرد که آیا لوژانهای بالا یا شاخص کیفیت سنگ پایین مرتبط با سازنده‌های آهکی (کارستی) یا درزه و شکاف‌های واحدهای سنگی هستند. قابل ذکر است نتایج شبیه‌سازی هنگامی قابل قبول‌اند که قادر به دوباره‌سازی پارامترهای آماری و زمین‌آماری داده‌های اکتشافی باشند. بدین منظور نمودار فراوانی نمای به‌دست‌آمده از نتایج شبیه‌سازی و نمودار هیستوگرام داده‌های واقعی داده (داده‌های گمانه‌های اکتشافی) در نظر گرفته شد (شکل ۱۵). ملاحظه می‌شود که میانگین حاصله از نتایج شبیه‌سازی با میانگین حاصله از تحلیل آماری داده‌های گمانه‌های اکتشافی تقریباً برابر است در نتیجه نتایج حاصل از شبیه‌سازی به‌خوبی قادر به تولید مجدد پارامترهای آماری داده بوده است و از این لحاظ دارای اعتبار هستند.



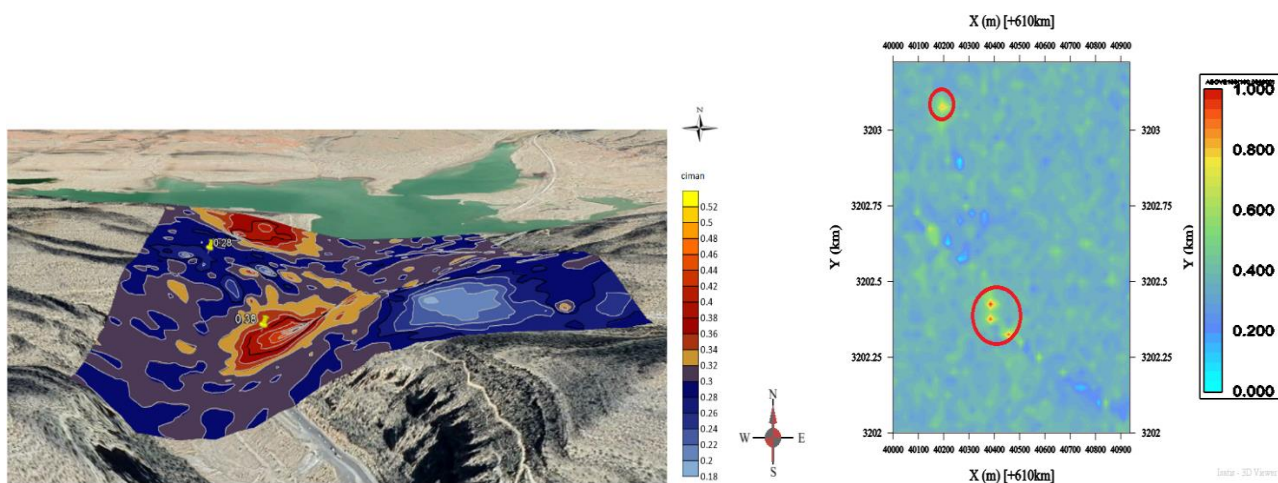
در راستای ارزیابی عدم قطعیت مقادیر شبیه‌سازی‌شده متغیرها، شبیه‌سازی‌ها بر روی یکدیگر منطبق شده و احتمال بزرگ یا کوچک‌تر از یک آستانه محاسبه شده است. با توجه به اینکه تشخیص زون‌های تراوا با مقادیر شاخص کیفیت سنگ پایین، مقادیر بالای لوژان و سیمانخوری مدنظر است؛ نقشه‌های احتمال کوچک‌تر بودن مقادیر شاخص کیفیت سنگ از مقدار حد آستانه ۳۰ درصد، بالاتر بودن لوژان و سیمانخوری از مقادیر حد آستانه به ترتیب ۲ و ۱۰۰ کیلوگرم در واحد طول تهیه شده است. از این نقشه‌ها می‌توان در تعیین عدم قطعیت در راستای تعیین نقاط مناسب جهت تزریق سیمان و جلوگیری از فرار آب استفاده نمود. جهت شناسایی بهتر نقاط بهتر است نقشه متغیر را در ترازهای مختلف ارتفاعی ترسیم و با یکدیگر مقایسه کرد. در اشکال (۱۱)، (۱۲) و (۱۳) چند نمونه از نقشه احتمال مقادیر سه متغیر شاخص کیفیت سنگ، لوژان و سیمانخوری کوچک‌تر یا بزرگ‌تر از یک حد آستانه ترازهای مختلف مشاهده می‌شود. با توجه به این نقشه‌ها مشاهده می‌شود در محدوده‌ی مخزن و کمی جناح راست سد احتمال مقادیر شاخص کیفیت سنگ کوچک‌تر از ۳۰، احتمال بالاتر از ۲ و ۱۰۰ برای متغیرهای لوژان و سیمانخوری وجود دارد. به‌منظور بررسی رابطه بین گسل‌ها، نقشه‌های حاصل از میانگین احتمال شاخص کیفیت سنگ کمتر از ۳۰ با نقشه گسل‌های موجود در منطقه تطبیق داده شده است (شکل ۱۴)، نتایج نشان‌دهنده این است که در بدنه مخزن و جناح راست سد در نزدیکی و در محل تلاقی گسل‌ها احتمال فرار آب در اثر وجود مناطق با تراوایی بالا افزایش یافته است. اگر نقشه‌ی



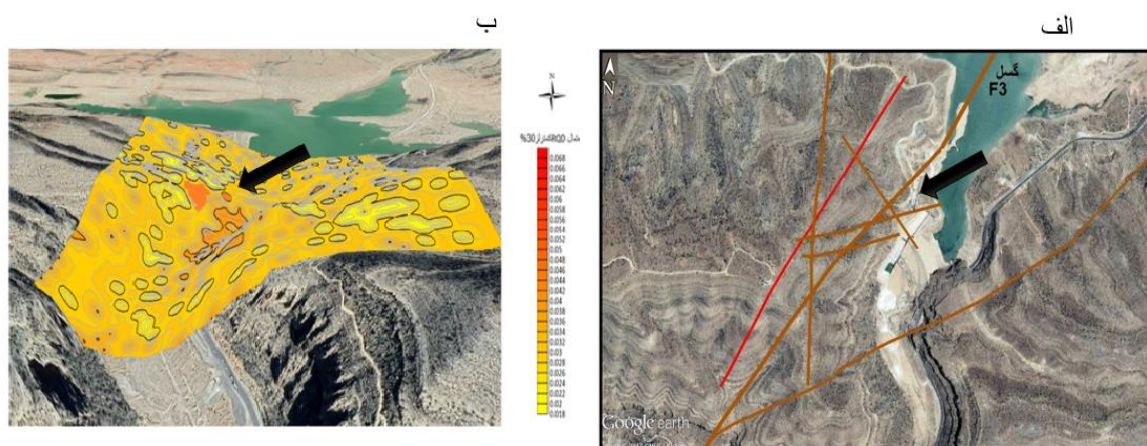
شکل ۱۱- نقشه پلان احتمال متغیر شاخص کیفیت سنگ با مقادیر کمتر از ۳۰ درصد (دوایر رنگی جهت نشان دادن مکان‌هایی که در آن‌ها متغیر مورد نظر مقادیر احتمال بالاتری را دارد)



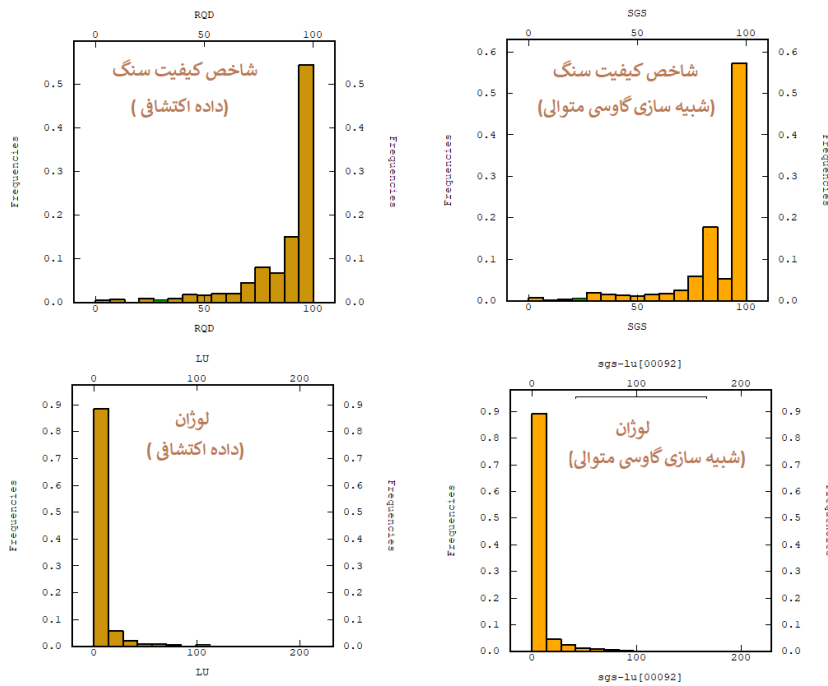
شکل ۱۲ نقشه پلان احتمال مقادیر لوزان با مقادیر بالاتر از حد آستانه ۲



شکل ۱۳ نقشه پلان احتمال سیمان‌خوری برای مقادیر با حد آستانه بالاتر از ۱۰۰ کیلوگرم بر متر (دوایر رنگی جهت نشان دادن مکان‌هایی که در آن‌ها متغییر مورد نظر مقادیر احتمال بالاتری را دارد)



شکل ۱۴ (الف) نمایش گسل‌ها در اطراف سد و (ب) نمایش مقادیر احتمال شاخص کیفیت سنگ کمتر از ۳۰ بر روی سطح زمین



شکل ۱۵ نمودار هیستوگرام مقادیر داده‌های اکتشافی برداشت از گمانه‌ها و مقادیر شبیه سازی شده

لایه‌هایی با خصوصیات مختلف را نیز می‌توان از دلایل این موضوع ذکر کرد. در نهایت پیشنهاد می‌گردد تلفیق اطلاعات زمین‌آمار با اطلاعات ژئوالکترونیک در شبیه‌سازی زمین‌آمارى انجام شود و در مطالعات مشابه، در هنگام اندازه‌گیری داده‌های شاخص کیفیت سنگ داده‌برداری درز و شکاف مغزه‌های سنگ انجام شود و مطالعات و تفسیرهای شاخص سنگ کیفیت بر اساس درز و شکاف صورت گیرد. همچنین باید اشاره کرد محل پیرومترها، تزریق ماده رنگی و برداشت نمونه‌های رنگی و هیدروشیمیایی در مطالعات قبلی در مناطق دورتر از موقعیت چاه‌های مشاهده‌ای و چاههای ژئوتکنیک کنونی قرار داشتند و در حال نیز آن پیرومترهای یا تخریب شده‌اند و یا سطح ایستابی آنها برداشت نمی‌شود. لذا در مطالعات پیشین، در مورد مسیر حرکت آب زیرزمینی و نقاط با نفوذپذیری بالا و یا کم در محدوده مطالعاتی این تحقیق، نتایجی نداشته‌اند که بتوان مقایسه‌ای در خصوص نتایج داشت.

نتیجه‌گیری

در این پژوهش مناطق دارای پتانسیل فرار آب در سد تنگاب با استفاده از شبیه‌سازی گاوسی متوالی مورد بررسی قرار گرفت. با توجه به نقشه‌های شبیه‌سازی سه متغیر لوژان، شاخص کیفیت سنگ و سیمان‌خوری در دو محل واقع در مرکز مخزن و شمال غربی سد، مناطق با نفوذپذیری بالا شناسایی شده است. لذا در این مکان‌ها پتانسیل فرار آب وجود دارد. بررسی گسل‌های منطقه مورد مطالعه نیز نشان داد تراکم گسل‌ها بیشتر در جناح راست سد بوده به همین دلیل وجود گسل‌ها می‌تواند سبب افزایش نفوذپذیری واحدهای سنگی شده باشد. با این وجود در بعضی از نقاط به‌ویژه جناح چپ مخزن سد، ارتباط و همپوشانی بین مقادیر حداکثر لوژان و حداقل شاخص کیفیت سنگ، دیده نشده است که می‌تواند به دلیل ماهیت متفاوت و نحوه اندازه‌گیری دو متغیر شاخص کیفیت سنگ و لوژان باشد و همچنین یکسان نبودن عمق گمانه‌ها و برخورد گمانه‌ها در ترازهای مختلف ارتفاعی با

مراجع

1. Jaquet, O., Siegel, P., Klubertanz, G., Benabderhamane, H., "Stochastic discrete model of karstic networks", *Advances in Water Resources*, Vol. 27 (7), pp. 751–760, (2004).
2. Issaks, E. H., Srivastava, R. M., "Applied Geostatistics", Newyork, Oxford University Press, (1989).

3. Huysmans, M., Dassargues, A., "Application of multiple-point geostatistics on modelling groundwater flow and transport in a cross-bedded aquifer (Belgium)", *Hydrogeology Journal*, Vol. 17(8), pp. 1901–1911, (2009).
4. Madani Esfahani, N., Asghari, O., "Fault detection in 3D by sequential Gaussian simulation of Rock Quality Designation (RQD)", *Arabian Journal of Geosciences*, Vol. 6(10), pp. 3737–3747, (2012).
5. Marache, A., Breyse, D., Piette, C., Thierry, P., "Geotechnical modeling at the city scale using statistical and geostatistical tools: the Pessac case (France)", *Engineering Geology*, Vol. 107(3-4), pp. 67-76, (2009).
۶. ساسانی نیا، ندا، بهرام حبیب نیا، و حسین قبادی، "تخمین تخلخل و توزیع فضایی تراوایی با استفاده از مدل زمین‌آماري در یکی از میدان‌های نفتی جنوب غربی ایران"، کنفرانس بین‌المللی علوم و مهندسی، امارت-دبی، موسسه ایده پرداز پایتخت ویرا، (۱۳۹۴).
۷. عالی‌انوری، علی، همایون کتیبه، و حمید محمودآبادی، "تخمین نفوذپذیری معادل در امتداد محور تونل امیرکبیر با استفاده از شبکه عصبی مصنوعی"، دومین کنفرانس مهندسی معدن تهران، دانشگاه تهران، (۱۳۸۷).
۸. مشرفی فر، محمدرضا، کاظم برخوردار، و حمید موسوی، "ارزیابی خصوصیات ژئوتکنیکی و زمین‌شناسی مهندسی سد مخزنی ایوشان"، دومین کنفرانس ملی مهندسی عمران، معماری و توسعه شهری بابل، مؤسسه علمی تحقیقاتی کومه علم آوران دانش، (۱۳۹۵).
9. Lu, L., Kashiwaya, K., Koike, K., "Geostatistics-based regional characterization of groundwater chemistry in a sedimentary rock area with faulted setting", *Environmental Earth Sciences*, Vol. 75, pp. 829, (2016).
10. Assari, A., Mohammadi, Z., "Analysis of rock quality designation (RQD) and Lugeon values in a karstic formation using the sequential indicator simulation approach, Karun IV Dam site, Iran", *Bulletin of Engineering Geology and the Environment*, Vol. 76(2), pp. 1–12, (2016).
11. Yu, Y., "Geostatistical Interpolation and Simulation of RQD Measurements, M.Sc Dissertation", University of British Columbia (Vancouver), (2010).
12. Wuing, Liu, Ch., Shin, Jang, Ch., Min Liao, Ch., "Evaluation of arsenic contamination potential using indicator kriging in the Yun-Lin aquifer (Taiwan)", *Science of the Total Environment*, Vol. 321(1-3), pp. 173–188, (2004).
۱۳. عصارى، امین، و ضرغام محمدی، "شبیه‌سازی ضریب آلودگی با استفاده از روش‌های زمین‌آماري باهدف تعیین محل چاه‌های پمپاژ مطالعه موردی معدن گل‌گهر"، اولین کنفرانس ملی مهندسی اکتشاف منابع زیرزمینی دانشگاه شاهرود، (۱۳۹۲).
14. Ahmadi, SH., Sedghamiz, A., "Geostatistical Analysis of Spatial and Temporal Variations of Groundwater Level", *Environmental Monitoring and Assessment*, Vol. 129 (1-3), pp. 277–294, (2007).
۱۵. نخعی بهشته، "استفاده از روش‌های شبیه‌سازی استوکاستیک جهت تعیین زون‌های تراوا در سازند سخت پیت معدن گهر زمین، استان کرمان"، ایران، پایان‌نامه کارشناسی ارشد زمین‌شناسی-آب‌شناسی، دانشگاه سیستان و بلوچستان، (۱۳۹۷).
۱۶. اسدی، ناصر، "بررسی مسئله فرار آب از سد تنگاب فیروزآباد با استفاده از ردیاب رنگی"، پایان‌نامه کارشناسی ارشد آب‌شناسی-زمین‌شناسی، دانشگاه شیراز، (۱۳۷۷).
17. Karimi, H., Raeisi, E., Zare, M., "Physicochemical time series of karst springs as a tool to differentiate the source of spring water", *Carbonates and Evaporites*, Vol. 20(2), pp. 138–147, (2005).
18. Akhondi, M., Mohammadi, Z., "Preliminary analysis of spatial development of karst using a geostatistical simulation approach", *Bulletin of Engineering Geology and the Environment*, Vol. 73(4), pp. 1037–1047, (2014).
۱۹. محمودی، امین، "محمد صدقی اصل، منصور پرویزی، و ارسلان مهرکی، بررسی نشت در جناح راست سد خاکی مطالعه موردی سد خاکی تنگاب فیروزآباد"، اولین کنفرانس ملی مهندسی ژئوتکنیک اردبیل، دانشگاه محقق اردبیلی، (۱۳۹۲).

۲۰. کریمی، حاجی، عزت‌ا... رئیسی، و محمد زارع، "بررسی رابطه بین تغییرات سطح آب نفوذپذیری لایه‌های زمین‌شناسی با استفاده از شبکه پیزومتری"، اولین کنفرانس زمین‌شناسی مهندسی و محیط‌زیست تهران، انجمن زمین‌شناسی مهندسی ایران، دانشگاه تربیت‌معلم، (۱۳۷۸).
۲۱. جاور، حسن، و علی محمد حسین نژاد، "آب‌بندی سد تنگاب فیروزآباد فارس با خروج مواد ریزدانه از تشکیلات رسوبی و سنگی و طراحی گمانه‌های متقاطع"، دومین کنفرانس ملی نیروگاه‌های آبی کشور، شرکت توسعه منابع آب و نیروی ایران، (۱۳۸۷).
22. Boufekane, A., Yahiaoui, S., Meddi, H., Meddi, M., Busico, G., "Modified DRASTIC index model for groundwater vulnerability mapping using geostatistic methods and GIS in the Mitidja plain area (Algeria)", *Environmental Forensics*, (2021), doi.org/10.1080/15275922.2021.1913674.
23. Faria, P. H., Coimbra, Leite Costa J. F., Arcari Bassani, M. A., "Multivariate geostatistical simulation with PPMT: an application for uncertainty measurement", *Applied Earth Science*, Vol. 130(3), pp 174-184. (2021).
24. Jalili, Pirani F., Modarres, R., "Geostatistical and deterministic methods for rainfall interpolation in the Zayandeh Rud basin, Iran", *Hydrological Sciences Journal*, Vol. 65(16), pp, 2678-2692. (2020).
25. Mallik, S., Bhowmik, T., Mishra, U., Paul, N., "Mapping and prediction of soil organic carbon by an advanced geostatistical technique using remote sensing and terrain data", Geocarto International, (2020). doi.org/10.1080/10106049.2020.1815864.
26. Narjary, B., Kumar, S., Meena, M., Kamra, S.K., Sharma, D. K., "Spatio-temporal mapping and analysis of soil salinity: An integrated approach through Electromagnetic induction (EMI), multivariate and geostatistical techniques", Geocarto International, (2021). doi.org/10.1080/10106049.2021.2002952.
27. Zhang, W., Wang, S., Song, S., Tan, C., Ma, Z., Shan, B., Xu, P., "Determination of representative volume element with consideration of linear anisotropy using geostatistics approach", *European Journal of Environmental and Civil Engineering*, (2020). doi.org/10.1080/19648189.2020.1815588.
28. Issaks, E. H., Srivastava, R. M., "Applied Geostatistics, Newyork", Oxford University Press, (1989).
۲۹. حسینی پاک، علی‌اصغر، محمد شرف‌الدین، "تحلیل داده‌های اکتشافی"، انتشارات دانشگاه تهران، (۱۳۸۴).
۳۰. مدنی، حسن، "مبانی زمین‌آمار"، دانشگاه صنعتی امیرکبیر تهران، (۱۳۹۱).

